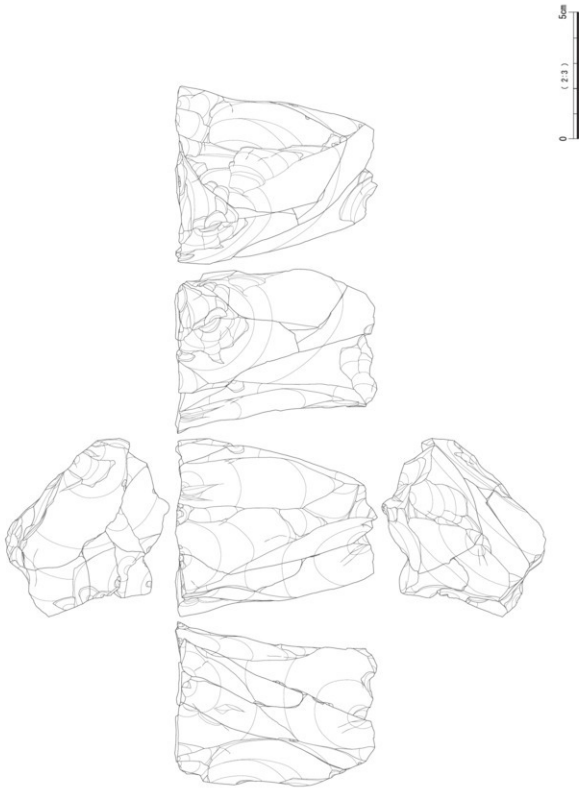
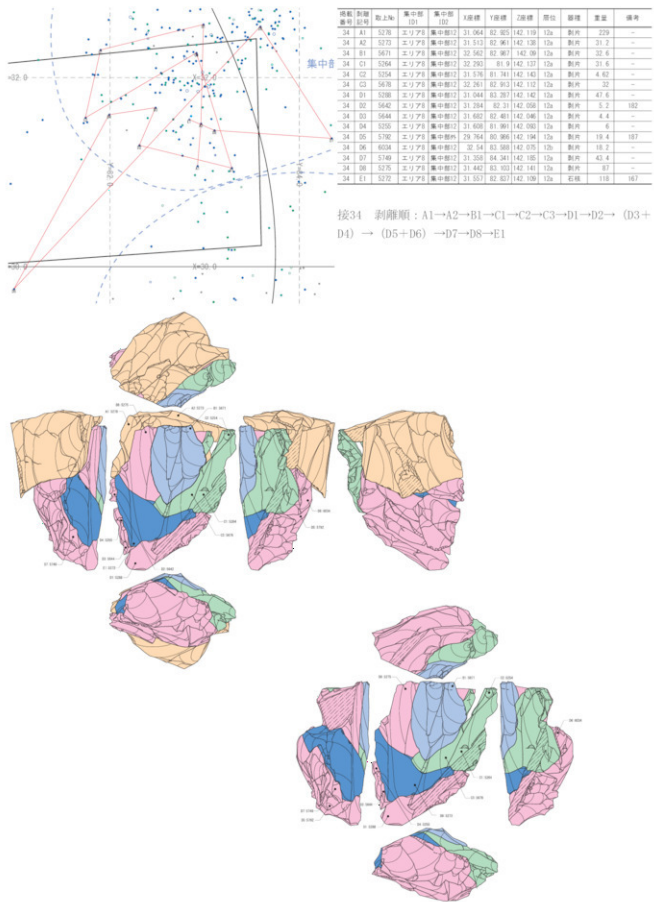


第210図 梱合資料33(2)



第211図 接合資料33 (3)

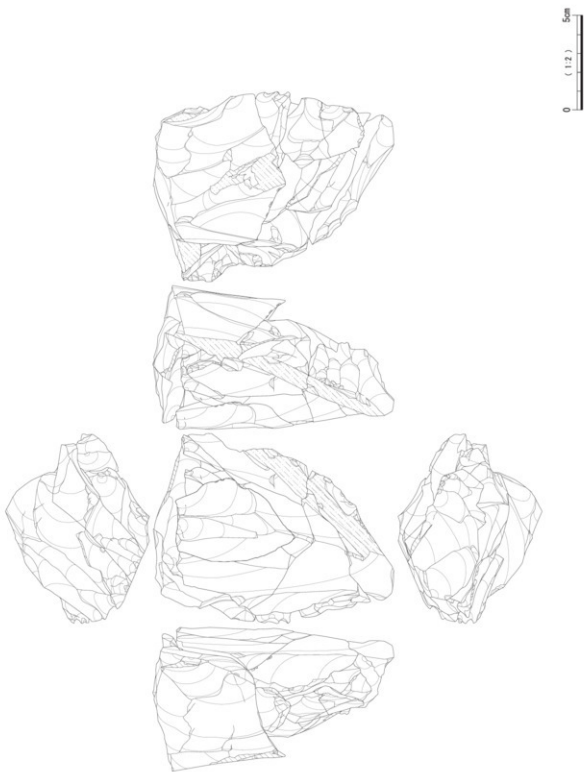


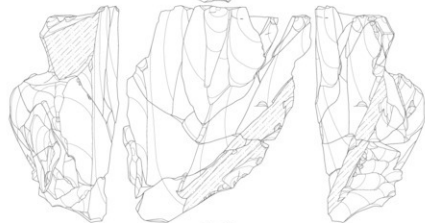
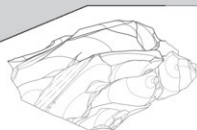


第212図 接合資料34 (1)

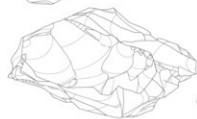


第214図 接合資料34 (3)

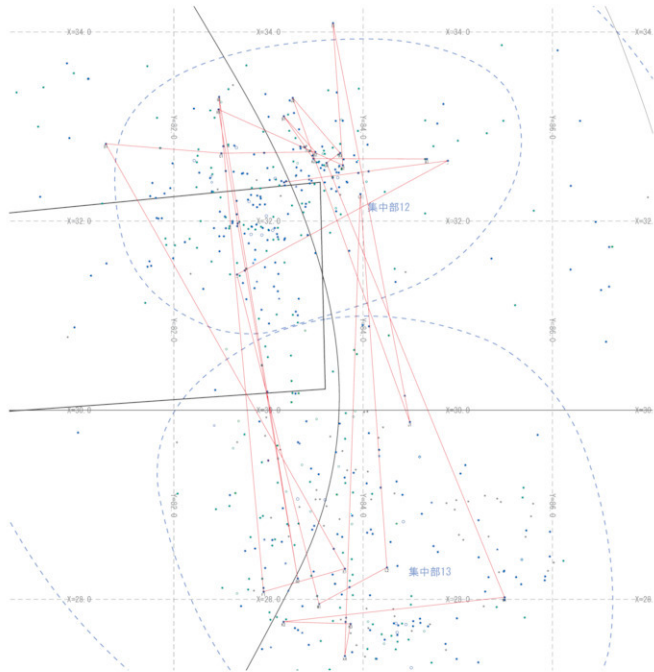




接合資料34 a



第215図 接合資料34 (4)

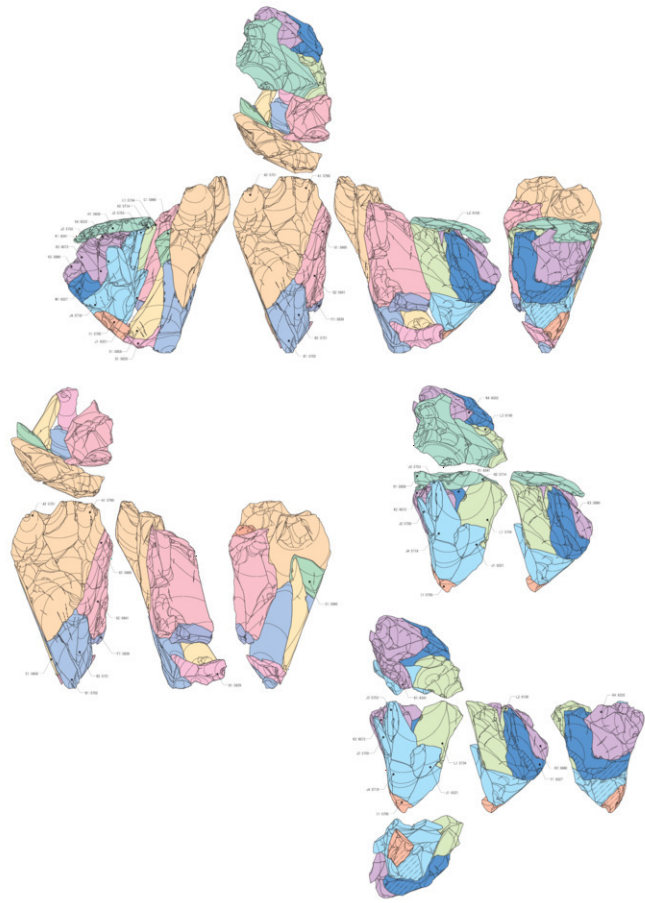


機械 制御 記号	取上部 記号	集中部 (D)	集中部 (D)	L接線	T接線	B接線	部位	修理	重量	備考
35	A1	エリプロ	集中部12	32.658	84.677	42.189	12a	剥片	42.8	-
35	A2	エリプロ	集中部12	32.661	83.472	42.133	12a	剥片	105.3	-
35	B1	エリプロ	集中部12	32.111	82.504	42.156	12a	剥片	8.7	-
35	C1	エリプロ	集中部12	32.069	82.494	42.156	12a	剥片	36.4	-
35	D1	エリプロ	集中部12	32.716	82.569	42.046	12a	剥片	7.9	-
35	E1	エリプロ	集中部12	32.610	81.291	42.184	11	剥片	2.1	-
35	F1	エリプロ	集中部12	32.254	83.806	42.196	12a	剥片	14.9	-
35	G1	エリプロ	集中部12	32.061	82.946	42.146	12a	剥片	3.7	-
35	H1	エリプロ	集中部12	32.315	82.477	42.151	12a	剥片	10.8	-
35	I1	エリプロ	集中部12	32.221	83.308	42.164	12a	剥片	125	-
35	J1	エリプロ	集中部12	32.182	82.471	42.175	12a	剥片	20.1	-
35	K1	エリプロ	集中部12	32.592	83.765	42.197	12a	剥片	13	-
35	L1	エリプロ	集中部12	34.095	83.681	42.323	11	剥片	5.1	-
35	M1	エリプロ	集中部12	29.816	84.493	42.167	12a	剥片	4.16	-

機械 制御 記号	取上部 記号	集中部 (D)	集中部 (D)	L接線	T接線	B接線	部位	修理	重量	備考
35	J2	エリプロ	集中部12	33.304	83.255	142.087	12a	剥片	2.6	-
35	J3	エリプロ	集中部12	32.721	83.794	142.206	12a	剥片	1.1	-
35	J4	エリプロ	集中部12	32.411	83.423	142.032	12a	剥片	85	-
35	J5	エリプロ	集中部12	32.023	83.023	142.114	12a	剥片	9.7	-
35	K2	エリプロ	集中部12	27.962	83.554	142.079	12a	剥片	5.03	-
35	K3	エリプロ	集中部12	27.741	83.866	142.255	12a	剥片	18.1	-
35	K4	エリプロ	集中部12	27.401	83.806	142.142	12a	剥片	9.6	-
35	L1	エリプロ	集中部12	32.287	83.971	142.146	12a	剥片	44.5	-
35	L2	エリプロ	集中部12	28.337	84.251	142.581	12b	剥片	3.64	-
35	M1	エリプロ	集中部12	27.951	83.534	142.569	12b	石綿	82.9	170
35	M2	エリプロ	集中部12	31.436	82.667	142.596	12a	剥片	0.7	集中部複合
35	M3	エリプロ	集中部12	32.639	84.880	142.153	12a	剥片	1.3	集中部複合
35	M4	エリプロ	集中部12	32.411	83.164	142.058	12a	剥片	4.09	集中部複合

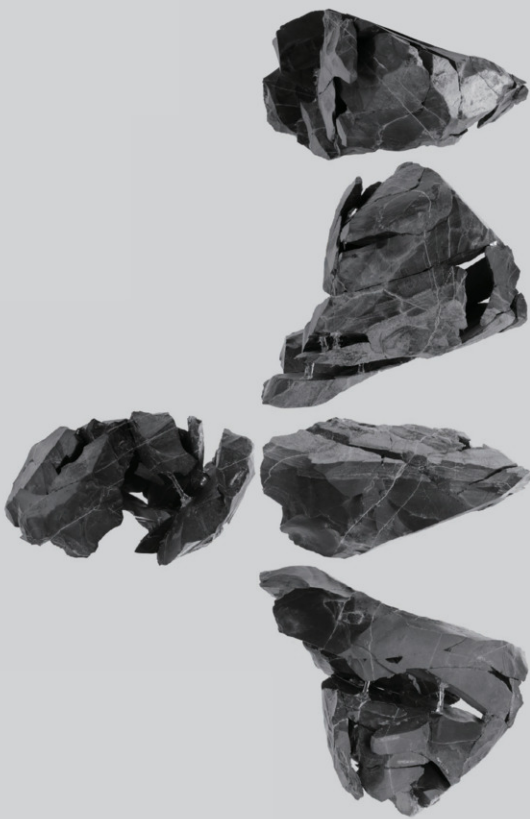
接35 剥離順：A1→A2→B1→B2→C1→D1→E1→F1→G1→G2→H1→H2→I1→J1→J2→J3→J4→K1→K2→K3→K4→L1→L2→M1

第216図 接合資料35 (1)



第217図 接合資料35 (2)

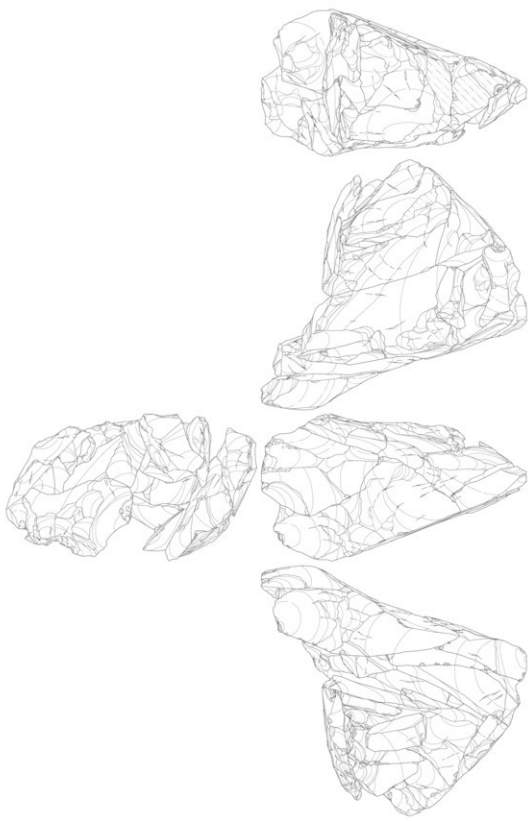
第218図 接合資料35（3）



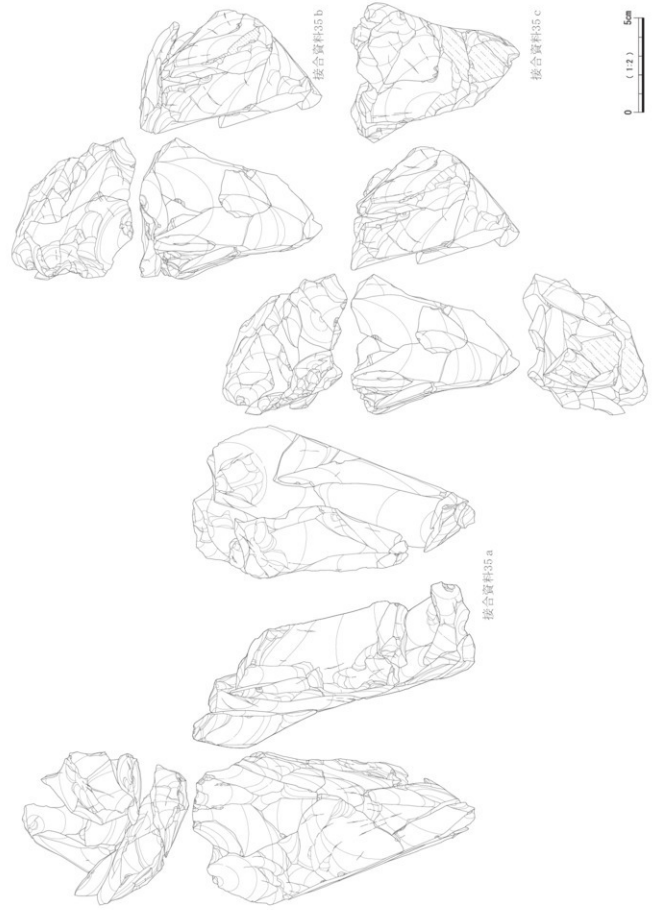
第219図 接合資料35(4)



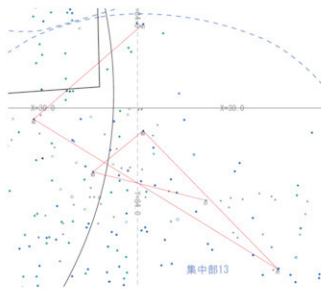
0 (1.2) 5cm



第220図 接合資料35 (5)

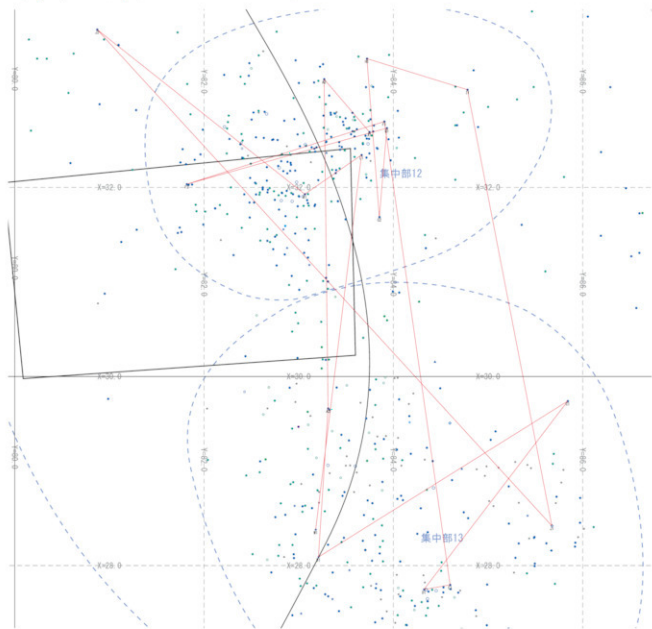


第221図 接合資料35 (6)



施設 番号	部屋 番号	勘上駄 (1)	集中部 (2)	1階壁	Y接壁	2階壁	位置	整理	重量	備考
36	A1	5740	エリアB	集中部13	30.888	84.06	142.15	転片	26.1	-
36	A2	5802	エリアB	集中部13	29.882	82.903	142.137	転片	1	-
36	B1	6121	エリアB	集中部13	28.295	85.404	142.196	転片	22.4	-
36	B2	5920	エリアB	集中部13	29.759	84.059	142.242	転片	3.9	-
36	B3	5820	エリアB	集中部13	29.324	83.529	142.227	転片	23.4	-
36	C1	6109	エリアB	集中部13	29.023	84.722	142.182	右板	85.9	169

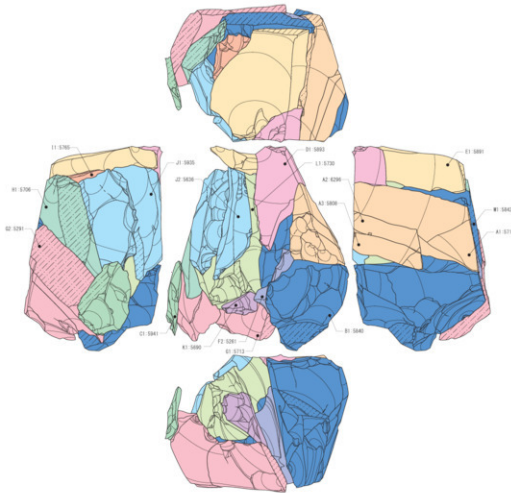
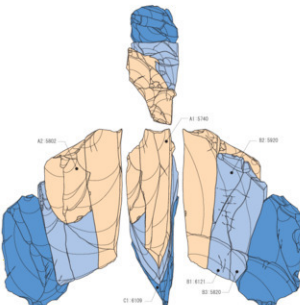
接36 剥離順 : A1→A2→ (B1+B2) →B3→C1



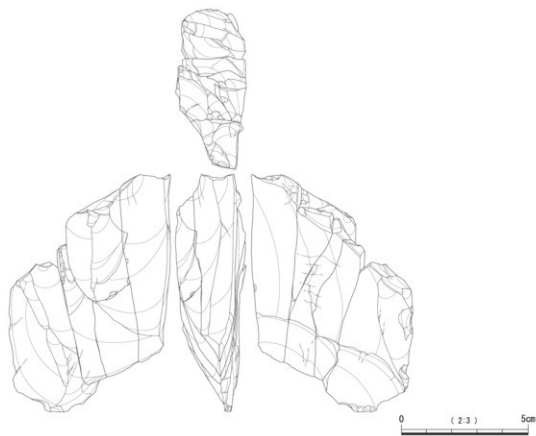
第222図 接合資料36・37 (1)

段数	剥離 部番号	剥離 部番号	集中部 (ID)	集中部 (ID)	X座標	Y座標	Z座標	層位	壁種	重さ	備考
37	A1	5717	エリヲラ	集中部12	32.586	63.747	142.16	12a	剥片	29	-
37	A2	6296	エリヲラ	集中部12	32.145	63.268	142.094	12b	剥片	9.44	-
37	A3	5808	エリヲラ	集中部13	29.662	63.31	142.314	11	剥片	9	-
37	B1	5840	エリヲラ	集中部13	28.09	63.298	142.177	12a	石核	123.6	174
37	C1	5840	エリヲラ	集中部13	29.74	63.64	142.303	12a	剥片	3.8	-
37	D1	5840	エリヲラ	集中部12	27.747	64.322	142.231	12a	剥片	16.9	-
37	E1	5840	エリヲラ	集中部12	27.795	64.322	142.231	12a	剥片	4.1	6
37	F1	5712	エリヲラ	集中部12	27.795	64.322	142.231	12a	剥片	1	-
37	G2	5296	エリヲラ	集中部17	32.014	63.954	142.238	12a	剥片	20.7	-
37	G3	5710	エリヲラ	集中部17	32.457	63.831	142.152	12a	剥片	33.8	-
37	H2	5296	エリヲラ	集中部12	31.687	63.852	142.206	12a	剥片	46	-
37	H3	5706	エリヲラ	集中部12	33.363	63.77	142.262	12a	剥片	13.7	183
37	I1	5706	エリヲラ	集中部12	33.033	64.762	142.267	12a	剥片	4.5	-
37	J1	5808	エリヲラ	集中部13	28.421	65.674	142.21	12a	二次加 工剥片	21.4	163
37	J2	5806	エリヲラ	集中部5	23.67	60.87	142.167	12a	剥片	13.8	-
37	K1	5800	エリヲラ	集中部12	31.926	63.064	142.083	12a	剥片	3.4	-
37	M1	5842	エリヲラ	集中部12	32.342	63.662	142.159	12a	剥片	88.9	-
37	M2	5842	エリヲラ	集中部12	28.28	63.179	142.181	12a	石核	181.2	176

接37 剥離順： (A1→A2→A3→B1) →C1→D1→E1→F1→F2
 → (G1+G2) →H1→I1→J1→J2→K1→L1→M1



第223図 接合資料36・37 (2)



第224図 接合資料36

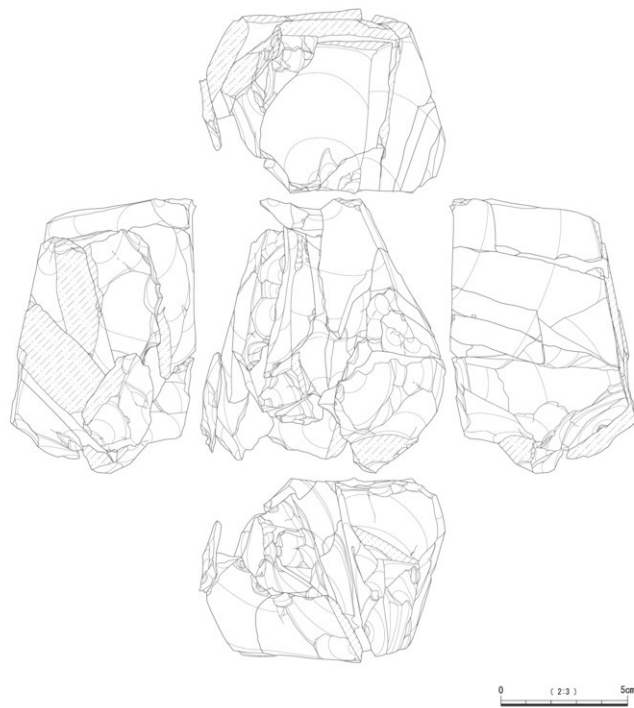
接合資料37（第222図・第223図、第225図～第229図）

集中部12・13で出土した二次加工剥片を含む、石核接合資料である。厚さ6cm程度の板状の板状を呈している。本来さらに厚みのある角錐状を呈しているものと思われる。掌大の母材で先端部を打撃し欠損している。残りを大きく2分割し大小の素材石核に分離し剥離を進めている。

小さな素材石核は、同一打面から順次打点を移動し連続的に剥片剥離を進めているが節理に阻まれ、先端を欠

損するなど意図する剥片を剥離することができずに石核を放棄している。

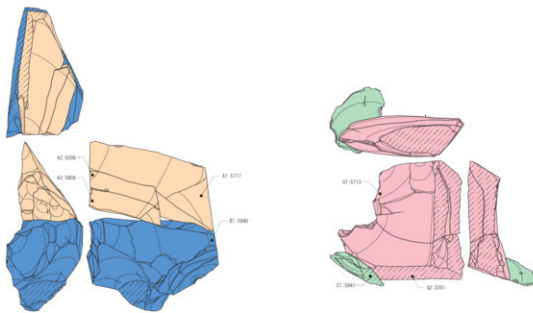
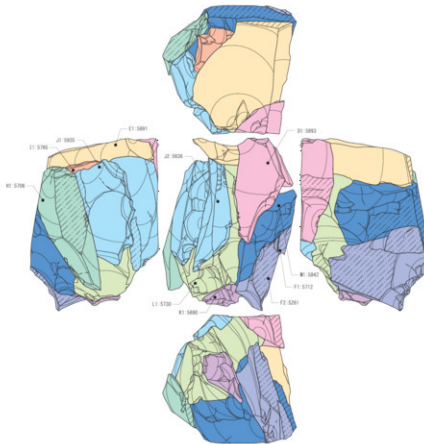
大きな素材石核は、欠損した先端部分を横方向に剥離し打面を形成、さらに打面調整した後、数枚剥片を剥離している。その後、数回の打面転移を行い剥離を行っているが、意図する剥片が剥離できないまま石核は放棄されている。



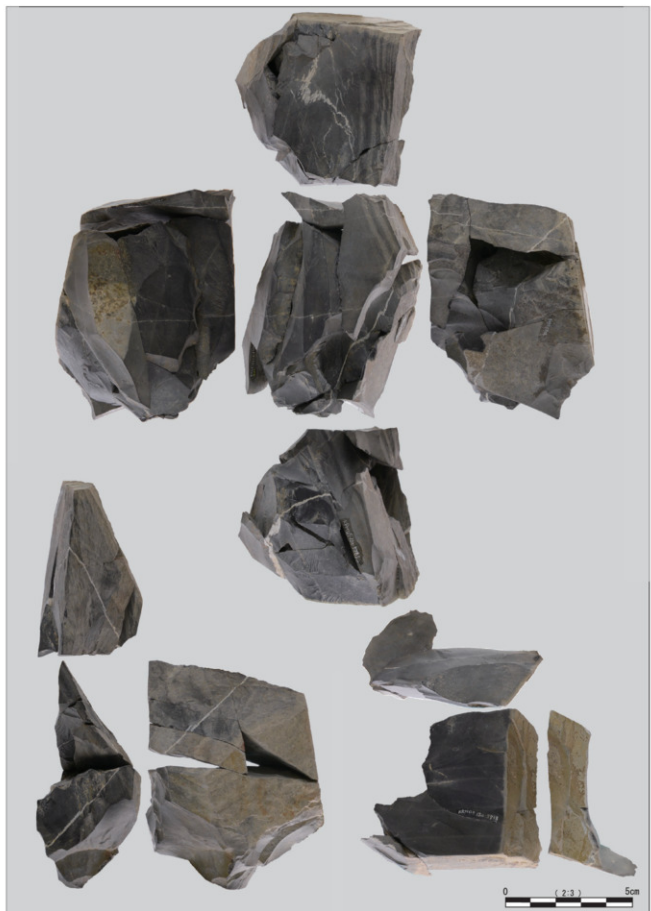
第225図 接合資料37(1)



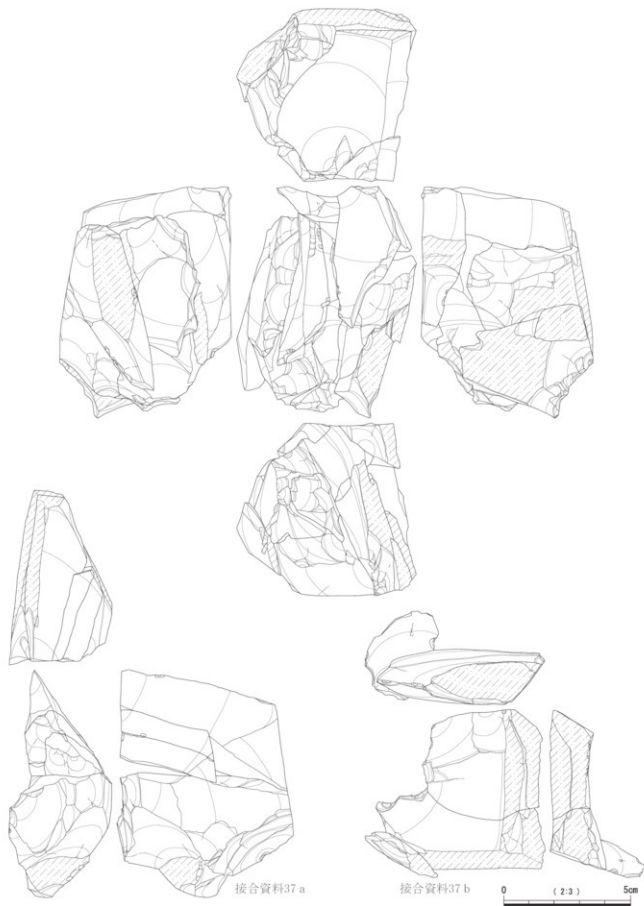
第226図 接合資料37(2)



第227図 接合資料37（3）



第228図 接合資料37(4)

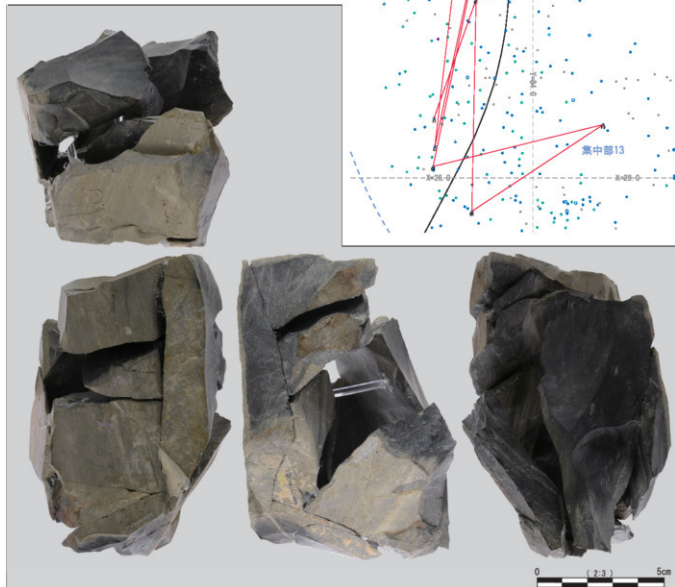
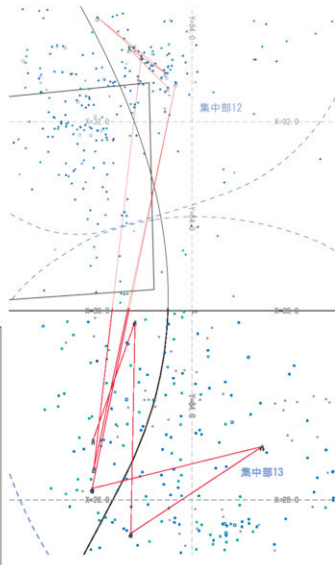


第229図 接合資料37 (5)

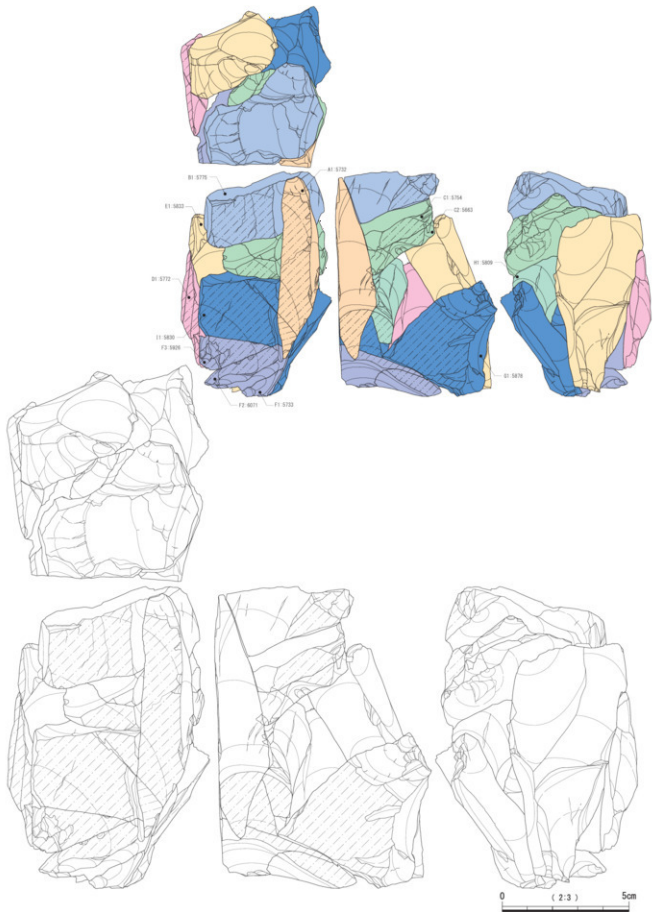
段階 番号	剥離 回数	取上No.	集中部 (ID)	集中部 102	X座標	Y座標	Z座標	層位	種類	重量	備考
38	A1	5732	エリヤ#	集中部12	32.36	63.745	[42.096]	12a	剥片	27.4	-
38	B1	5735	エリヤ#	集中部12	32.769	63.338	[42.131]	12a	剥片	87.0	-
38	C1	5734	エリヤ#	集中部12	32.517	63.717	[42.146]	12a	剥片	31.4	-
38	C2	5860	エリヤ#	集中部12	33.105	63.142	[42.196]	12a	剥片	39.3	-
38	D1	5722	エリヤ#	集中部12	32.690	63.466	[42.135]	12a	剥片	37.9	-
38	E1	5833	エリヤ#	集中部12	20.322	67.964	[42.171]	12a	剥片	90.4	-
38	F1	5723	エリヤ#	集中部12	20.322	67.964	[42.171]	12a	剥片	1.1	-
38	G1	5724	エリヤ#	集中部12	20.171	62.046	[42.082]	12a	剥片	20.0	-
38	H1	5808	エリヤ#	集中部12	20.564	64.142	[42.203]	12a	剥片	18.9	-
38	I1	5809	エリヤ#	集中部12	27.640	63.355	[42.135]	12a	石核	65.6	-
38	J1	5809	エリヤ#	集中部12	29.884	63.399	[42.261]	12a	剥片	11.8	-
38	K1	5830	エリヤ#	集中部12	26.632	62.955	[42.146]	12a	石核	82.1	-

接38 剥離順：A1→B1→C1→C2→D1→E1

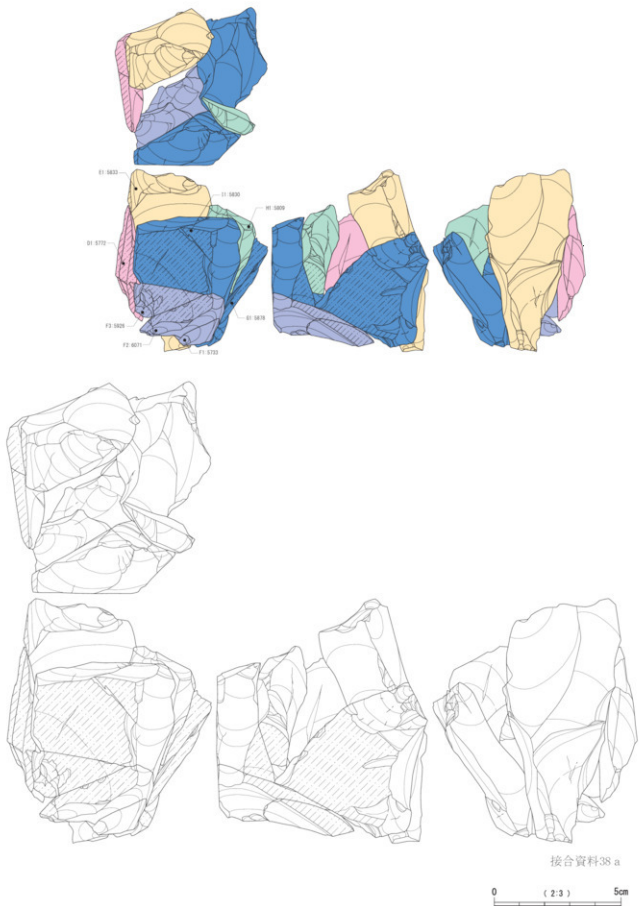
→F1→G2→H3→I1→J1



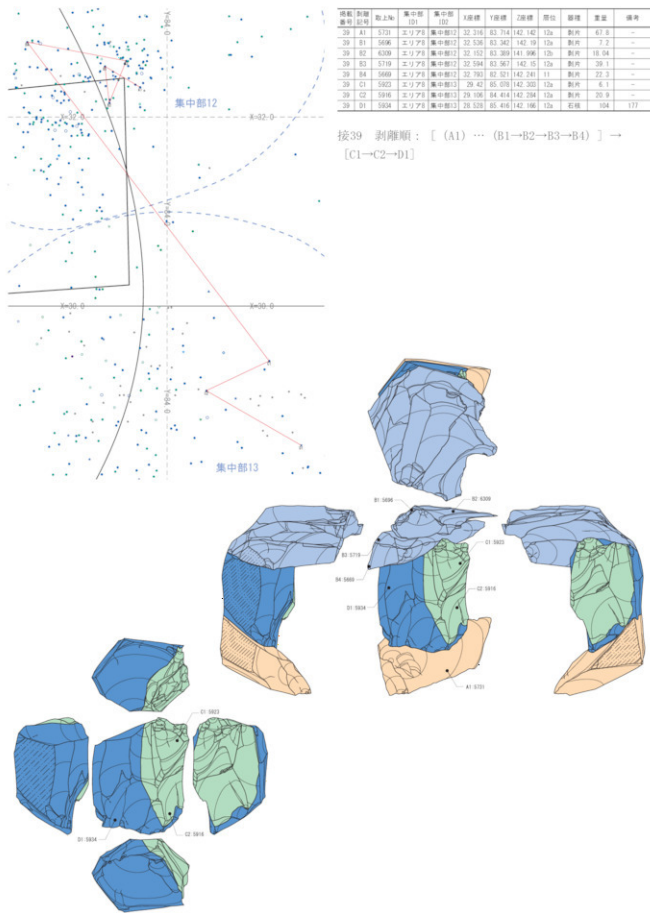
第230図 接合資料38 (1)



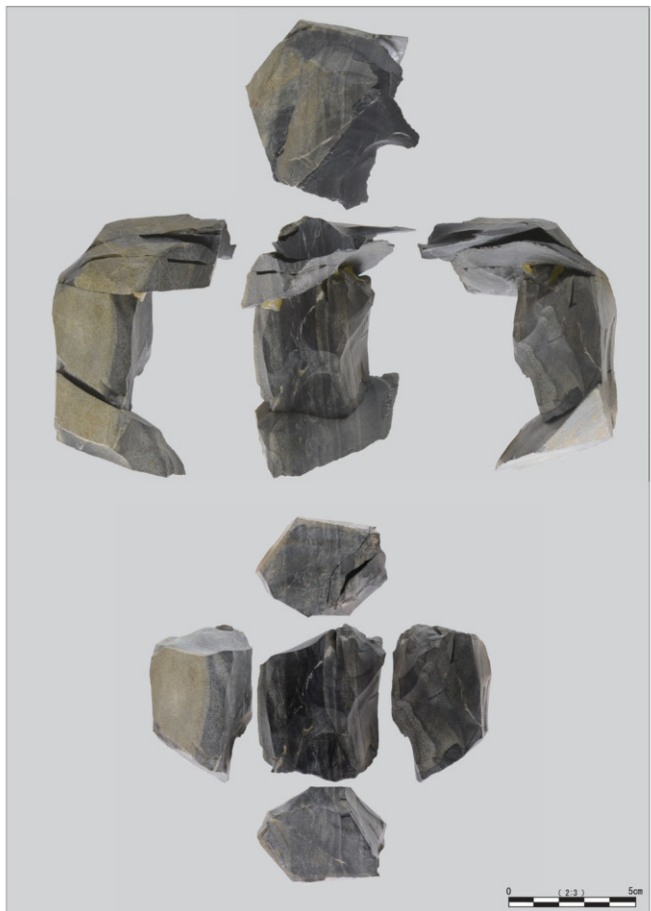
第231図 接合資料38 (2)



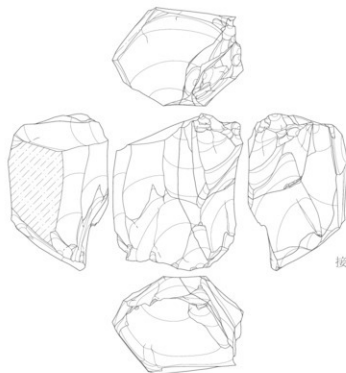
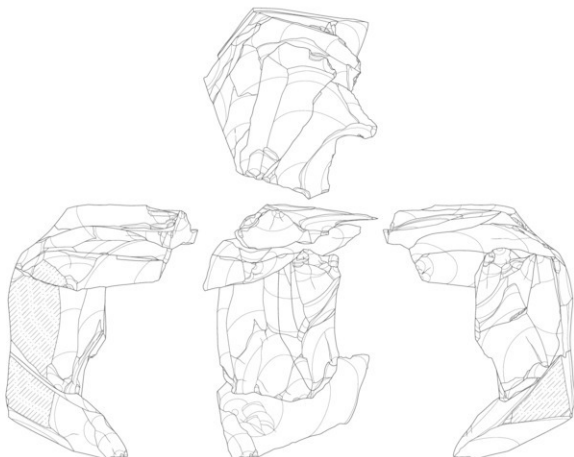
第232図 接合資料38 (3)



第233図 接合資料39 (1)

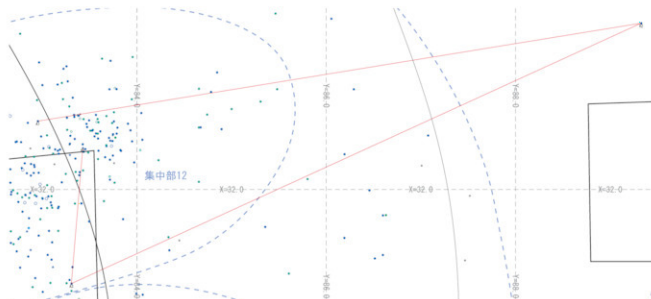


第234図 接合資料39(2)



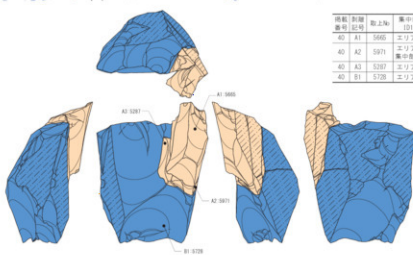
接合資料39 a

第235図 接合資料39 (3)



編番	形態	取上地	集中部 (D)	集中部 (H)	X座標	Y座標	Z座標	層位	断面	重量	備考
40	A1	5666	エリニア	集中部12	32.773	83.863	142.154	12a	断片	7.5	-
40	A2	5971	エリニア	集中部外	33.759	89.326	142.326	12a	断片	6.49	-
40	A3	5287	エリニア	集中部12	31.065	83.308	142.140	12a	断片	3	-
40	B1	5728	エリニア	集中部12	32.430	83.428	142.139	12a	岩核	108.2	145

接40 剥離順：A1→A2→A3→B1



第236図 接合資料40 (1)

接合資料38（第230図～第232図）

集中部12・13で出土した石核接合資料である。節理で割れた拳大ほどの石材石核を利用している。

節理面を打面とし剥片を1枚剥離した後、その節理面を剥離し打面形成して、長さ7cm、幅4cmほどの剥片を剥離しているものと考えられる。さらに元の節理面と平行に打面調整剥離を数回行い、打面形成し剥片剥離を行っている。その後は対極からの剥離や打面転移を行つての剥離を試みている。

接合する剥片には節理面が大きく残るものが多く、石材石核を得るための調整剥離剥片の接合資料と考えられる。

を剥離している。目的的剥片は、長さ約5cmのやや斜軸となる剥片と想定される。

接合資料41（第238図）

集中部12・13で出土した石核接合資料である。石材石核を形成するために剥離した大きな調整剥片を利用して剥片を剥離しているものと考えられる。

打面調整剥片と石核調整剥片が接合している石核に残された剥離痕から、目的的剥片は、長さおよそ5cmと想定される。

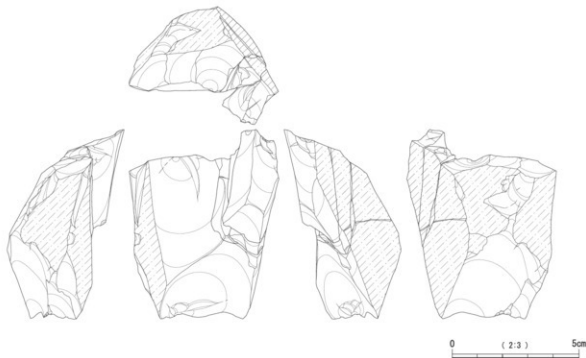
接合資料39（第233図～第235図）

集中部12・13で出土した石核接合資料である。石材は層理がやや発達するものの、節理はほとんどみられない。

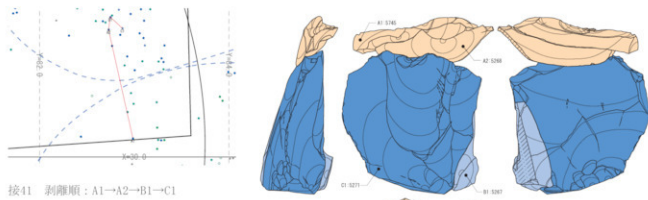
石材石核に対して上面と下面を横方向に剥離し打面を形成している。中央に残される石核には上下から剥片が剥離された痕跡が残り、最大長5cm程度の剥片が剥離できる程度の大きさまで剥離が進んだ状態で、剥離作業を終えている。

接合資料40（第236図・第237図）

集中部12と両側のエリア外で出土した石核接合資料である。厚さ4cm程度の板状の石材を素材とする。石核の細かい調整を行なながら、両極からの剥離で目的的剥片

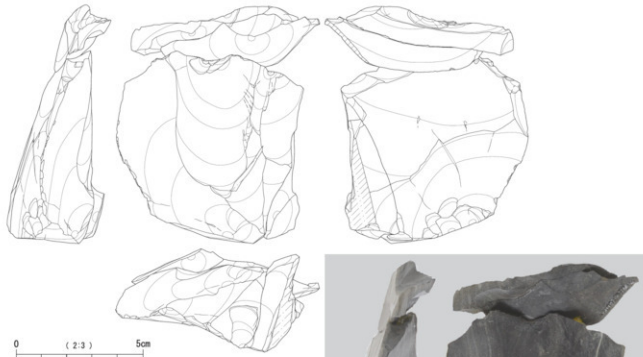


第237図 接合資料40（2）



接41 剥離順 : A1→A2→B1→C1

	番号	剥離順	取上順	裏面標	裏面標 番号	裏面標 番号	X座標	Y座標	Z座標	層位	修理	重さ	備考
-41	A1	5146	エリヤク3	裏中部13	30.197	82.996	[42.113]	-	12a	剥片	6.6	130	
-41	A2	5298	エリヤク3	裏中部12	31.347	82.729	[42.077]	-	12a	剥片	9.4	-	
-41	B1	5267	エリヤク3	裏中部12	31.479	82.748	[42.186]	-	12a	剥片	16.7	-	
-41	B2	5271	エリヤク3	裏中部12	31.36	82.676	[42.109]	-	12a	右柱	150.2	164	



第238図 接合資料41

第5章 自然科学分析

放射性炭素年代測定 1

バレオ・ラボAMS年代測定グループ

伊藤 茂・安昭炫・佐藤正教

廣田正史・山形秀樹・小林統一

Zaur Lomtatidze・小林克也・竹原弘展

1.はじめに

南九州市知覧町厚地に所在する鞍曲遺跡より検出された試料について、加速器質量分析法（AMS法）による放射性炭素年代測定を行った。

2. 試料と方法

測定試料の情報、調製データは表1のとおりである。試料番号1（PLD-32608）は、49号縄群より出土した炭化材である。試料番号2（PLD-32609）は、20号縄群より出土した炭化材である。試料番号3（PLD-32610）は、3号縄群より出土した炭化材である。いずれも始良Tn火山灰上位で検出された試料で、堆積状況が比較的安定しているため他年代の炭素が混入する可能性は低いとみられている。

試料は調製後、加速器質量分析計（バレオ・ラボ、コンパクトAMS：NEC製 1.5SDH）を用いて測定した。得られた¹⁴C濃度について同位体分別効果の補正を行った後、¹⁴C年代、暦年代を算出した。

3. 結果

表2に、同位体分別効果の補正に用いる炭素同位体比（ $\delta^{14}\text{C}$ ）、同位体分別効果の補正を行って暦年較正に用いた年代値と較正によって得られた年代範囲、慣用に従って年代値と誤差を丸めて表示した¹⁴C年代を、図1に暦年較正結果をそれぞれ示す。暦年較正に用いた年代値は下1桁を丸めている値であり、今後暦年較正曲線が更新された際にこの年代値を用いて暦年較正を行うために記載した。

表1 測定試料および処理

測定番号	遺跡データ	試料データ	前処理
PLD-32608	試料番号1 遺構：49号縄群	種類：炭化材 試料の性状： 最終形成年輪以外部不明 状態：dry	超音波洗浄 酸・アルカリ・酸洗浄（塩酸：1.2N, 水酸化ナトリウム：1.0N, 塩酸：1.2N）
PLD-32609	試料番号2 炭化物① 遺構：20号縄群	種類：炭化材 試料の性状： 最終形成年輪以外部不明 状態：dry	超音波洗浄 酸・アルカリ・酸洗浄（塩酸：1.2N, 水酸化ナトリウム：1.0N, 塩酸：1.2N）
PLD-32610	試料番号3 遺構：3号縄群	種類：炭化材 試料の性状： 最終形成年輪以外部不明 状態：dry	超音波洗浄 酸・アルカリ・酸洗浄（塩酸：1.2N, 水酸化ナトリウム：1.0N, 塩酸：1.2N）

表2 放射性炭素年代測定および暦年較正の結果

測定番号	$\delta^{14}\text{C}$ (‰)	暦年較正用年代 (yrBP $\pm 1\sigma$)	¹⁴ C年代 (yrBP $\pm 1\sigma$)	¹⁴ C年代を暦年代に較正した年代範囲	
				1 σ 暦年代範囲	2 σ 暦年代範囲
PLD-32608 試料番号1	-24.11 \pm 0.19	24393 \pm 79	24390 \pm 80	26643–26381 cal BC (68.2%)	26748–26240 cal BC (95.4%)
PLD-32609 試料番号2	-24.32 \pm 0.22	24209 \pm 76	24210 \pm 80	26440–26149 cal BC (68.2%)	26586–26017 cal BC (95.4%)
PLD-32610 試料番号3	-27.53 \pm 0.18	24372 \pm 80	24370 \pm 80	26625–26354 cal BC (68.2%)	26736–26211 cal BC (95.4%)

¹⁴C年代はAD1950年を基点にして何年前かを示した年代である。¹⁴C年代(yrBP)の算出には、¹⁴Cの半減期としてLibbyの半減期5568年を使用した。また、付記した¹⁴C年代誤差(±1σ)は、測定の統計誤差、標準偏差等に基づいて算出され、試料の¹⁴C年代がその¹⁴C年代誤差内に入る確率が68.2%であることを示す。

なお、暦年較正の詳細は以下のとおりである。

暦年較正とは、大気中の¹⁴C濃度が一定で半減期が5568年として算出された¹⁴C年代に対し、過去の宇宙線強度や地球磁場の変動による大気中の¹⁴C濃度の変動、および半減期の違い(¹⁴Cの半減期5730±40年)を較正して、より実際の年代値に近いものを算出することである。

¹⁴C年代の暦年較正にはOxCal14.2(較正曲線データ: IntCal13)を使用した。なお、1σ暦年代範囲は、OxCalの確率法を使用して算出された¹⁴C年代誤差に相当する68.2%信頼限界の暦年代範囲であり、同様に2σ暦年代範囲は95.4%信頼限界的暦年代範囲である。カッコ内の百分率の値は、その範囲内に暦年代が入る確率を意味する。グラフ中の縦軸上の曲線は¹⁴C年代の確率分布を示し、二重曲線は暦年較正曲線を示す。

試料番号1(PLD-32608)の炭化材は、¹⁴C年代が24390±80 ¹⁴C BP、2σ暦年代範囲が26748–26240 cal BC(95.4%)であった。

試料番号2(PLD-32609)の炭化材は、¹⁴C年代が24210±80 ¹⁴C BP、2σ暦年代範囲が26586–26017 cal BC(95.4%)であった。

試料番号3(PLD-32610)の炭化材は、¹⁴C年代が24370±80 ¹⁴C BP、2σ暦年代範囲が26736–26211 cal BC(95.4%)であった。

参考文献

- Bronk Ramsey, C. (2009) Bayesian Analysis of Radiocarbon dates. Radiocarbon, 51(1), 337–360.
 町田 洋・新井房夫(2003)新編火山灰アトラス. 336p, 東京大学出版会.
 中村俊夫(2000)放射性炭素年代測定法の基礎. 日本先史時代の¹⁴C年代編集委員会編「日本先史時代の¹⁴C年代」: 3–20, 日本国第四紀学会.
 Reimer, P.J., Bard, E., Bayliss, A., Beck, J.W., Blackwell, P.G., Bronk Ramsey, C., Buck, C.E., Cheng, H., Edwards, R.L., Friedrich, M., Grootes, P.M., Guilderson, T.P., Haflidason, H., Hajdas, I., Hatte, C., Heaton, T.J., Hoffmann, D.L., Hogg, A.G., Hughen, K.A., Kaiser, K.F., Kromer, B., Manning, S.W., Niu, M., Reimer, R.W., Richards, D.A., Scott, E.M., Southon, J.R., Staff, R.A., Turney, C.S.M., and van der Plicht,

J. (2013) IntCal13 and Marine13 Radiocarbon Age Calibration Curves 0–50,000 Years cal BP. Radiocarbon, 55(4), 1869–1887.

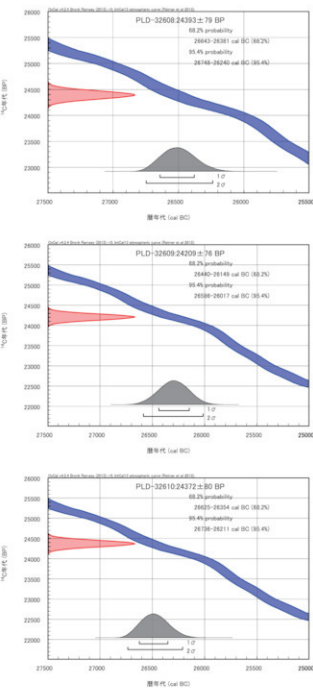


図1 暦年較正結果

1.はじめに

南九州市の鞍曲遺跡から出土した試料について、加速器質量分析法(AMS法)による放射性炭素年代測定を行った。

2. 試料と方法

試料は、B-5区のXII b'層とXII a'層から採取された土壤2点である。土壤中から測定可能な炭化物が抽出できなかったため、土壤を測定対象とした。XII b'層とXII a'層の堆積時期は旧石器時代と推測されている。

測定試料の情報、調製データは表1のとおりである。試料は調製後、加速器質量分析計(パレオ・ラボ、コンバクトAMS; NEC社製, 1.5SDH)を用いて測定した。得られた¹⁴C濃度について同位体分別効果の補正を行った後、¹⁴C年代、暦年代を算出した。

3. 結果

表2に、同位体分別効果の補正に用いる炭素同位体比($\delta^{13}\text{C}$)、同位体分別効果の補正を行って暦年較正に用いた年代値と較正によって得られた年代範囲、慣用に従って年代値と誤差を丸めて表示した¹⁴C年代、暦年較正結果を、図1に暦年較正結果をそれぞれ示す。暦年較正に用いた年代値は下1桁を丸めていない値であり、今後暦年較正曲線が更新された際にこの年代値を用いて暦年較正を行うために記載した。

¹⁴C年代はAD1950年を基点にして何年前かを示した年代

である。¹⁴C年代(yrBP)の算出には、¹⁴Cの半減期としてLibbyの半減期5568年を使用した。また、付記した¹⁴C年代誤差($\pm 1\sigma$)は、測定の統計誤差、標準偏差等に基づいて算出され、試料の¹⁴C年代がその¹⁴C年代誤差内に入る確率が68.2%であることを示す。

なお、暦年較正の詳細は以下のとおりである。

暦年較正とは、大気中の¹⁴C濃度が一定で半減期が5568年として算出された¹⁴C年代に対し、過去の宇宙線強度や地球磁場の変動による大気中の¹⁴C濃度の変動、および半減期の違い(¹⁴Cの半減期5730±40年)を較正して、より実際の年代値に近いものを算出することである。

¹⁴C年代の暦年較正には0xCal4.2(較正曲線データ:IntCal13)を使用した。なお、1 σ 暦年代範囲は、0xCalの確率法を使用して算出された¹⁴C年代誤差に相当する68.2%信頼限界の暦年代範囲であり、同様に2 σ 暦年代範囲は95.4%信頼限界の暦年代範囲である。カッコ内の百分率の値は、その範囲内に暦年代が入る確率を意味する。グラフ中の縦軸上の曲線は¹⁴C年代の確率分布を示し、二重曲線は暦年較正曲線を示す。

4. 考察

以下、各試料の暦年較正結果のうち2 σ 暦年代範囲(確率95.4%)に着目して、遺構ごとに結果を整理する。なお、縄文時代の測定例については宮地(2008)を参照した。

表1 測定試料および処理

測定番号	遺跡データ	試料データ	前処理		
			種類	状態	湿式縮分: 106 μm 酸・アルカリ・酸洗浄 (塩酸: 1.2N, 水酸化ナトリウム: 1.0N, 塩酸: 1.2N)
PLD-33625	調査区: B-5 層位: XII b' 層 遺物 No. 4272 試料 No. 1				
PLD-33626	調査区: B-5 層位: XII a' 層 遺物 No. 1619 試料 No. 2	種類: 土壤 状態: dry	種類: 土壤 状態: dry	湿式縮分: 106 μm 酸・アルカリ・酸洗浄 (塩酸: 1.2N, 水酸化ナトリウム: 1.0N, 塩酸: 1.2N)	

表2 放射性炭素年代測定および暦年較正の結果

測定番号	$\delta^{13}\text{C}$ (‰)	暦年較正用年代 (yrBP ± 1 σ)	¹⁴ C 年代 (yrBP ± 1 σ)	暦年較正した年代範囲	
				1 σ 暦年代範囲	2 σ 暦年代範囲
PLD-33625 XII b' 層 試料 No. 1	-20.12 ± 0.21	2647 ± 21	2645 ± 20	817-801 cal BC (68.2%)	833-796 cal BC (95.4%)
PLD-33626 XII a' 層 試料 No. 2	-21.73 ± 0.22	2790 ± 22	2790 ± 20	976-906 cal BC (68.2%)	1007-894 cal BC (93.8%) 866-855 cal BC (1.6%)

XII b'層の土壌(PLD-33625)は、833-796 cal BC (95.4%)であった。また、XII a'層の土壌(PLD-33626)は、1007-894 cal BC (93.8%)および866-855 cal BC (1.6%)であった。どちらも縄文時代晚期後葉に相当する。

各層位の推定時期は旧石器時代だが、測定結果は旧石器時代よりもかなり新しい年代であった。今回は土壌を測定したため、新しい時期の微細な有機物が紛れ込んでいたと推測される。

引用・参考文献

- Bronk Ramsey, C. (2009) Bayesian Analysis of Radiocarbon dates. Radiocarbon, 51(1), 337-360.
- 宮地聰一郎 (2008) 凸帯文系土器 (九州地方) . 小林達雄編「総覧縄文土器」: 806-813, アム・プロモーション.
- 中村俊夫 (2000) 放射性炭素年代測定法の基礎. 日本先史時代の¹⁴C年代編集委員会編「日本先史時代の¹⁴C年代」: 3-20, 日本国第四紀学会.
- Reimer, P.J., Bard, E., Bayliss, A., Beck, J.W., Blackwell, P.G., Bronk Ramsey, C., Buck, C.E., Cheng, H., Edwards, R.L., Friedrich, M., Grootes, P.M., Guilderson, T.P., Haflidason, H., Hajdas, L., Hatte, C., Heaton, T.J., Hoffmann, D.L., Hogg, A.G., Hughen, K.A., Kaiser, K.F., Kromer, B., Manning, S.W., Niu, M., Reimer, R.W., Richards, D.A., Scott, E.M., Southon, J.R., Staff, R.A., Turney, C.S.M., and van der Plicht, J. (2013) IntCal13 and Marine13 Radiocarbon Age Calibration Curves 0-50,000 Years cal BP. Radiocarbon, 55(4), 1869-1887.

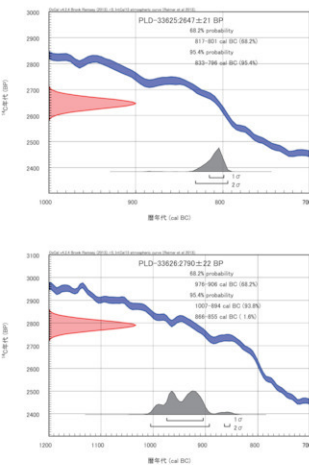


図1 歴年較正結果

1.はじめに

南九州市知覧町厚地に所在する鞍曲遺跡では、旧石器時代の縄群の周辺から、多量の頁岩とともに黒曜石製石器が出土している。当遺跡から出土した黒曜石製石器について、エネルギー一分散型蛍光X線分析装置による元素分析を行い、産地を推定した。

2. 試料と方法

分析対象は黒曜石製石器2点（試料番号4, 5）である（表1）。いずれも姶良Tn火山灰上位で出土しており、周辺の縄群で検出した炭化材の放射性炭素年代測定では、24390～24210 ^{14}C BPの値が得られている（詳細は放射性炭素年代測定の項参照）。試料は、測定前にメラミンフォーム製のスponジと精製水を用いて、表面の洗浄を行った。

分析装置は、エスアイアイ・ナノテクノロジー株式会社製のエネルギー一分散型蛍光X線分析計SEA1200VXを使用した。装置の仕様は、X線管ターゲットはロジウム（Rh），X線検出器はSi（Li）検出器である。測定条件は、測定時間100sec., 照射径8mm, 電圧50kV, 電流1000 μA , 試料室内雰囲気は真空に設定し、一次フィルタにPb測定用を用いた。

黒曜石の産地推定には、蛍光X線分析によるX線強度を用いた黒曜石産地推定法である判別図法を用いた（望月, 1999など）。本方法は、まず各試料を蛍光X線分析装置で測定し、その測定結果のうち、カリウム（K）、マンガン（Mn）、鉄（Fe）、ルビジウム（Rb）、ストロンチウム（Sr）、イットリウム（Y）、ジルコニウム（Zr）の合計7元素のX線強度（cps: count per second）について、以下に示す指標値を計算する。

- 1) Rb分率=Rb強度*100/(Rb強度+Sr強度+Y強度+Zr強度)
- 2) Sr分率=Sr強度*100/(Rb強度+Sr強度+Y強度+Zr強度)
- 3) Mn強度*100/Fe強度
- 4) log(Fe強度/K強度)

そしてこれらの指標値を用いた2つの判別図（横軸Rb分率-縦軸Mn強度×100/Fe強度の判別図と横軸Sr分率-縦軸log(Fe強度/K強度)の判別図）を作成し、各地の原石データと石器のデータを照合して、産地を推定する方法である。この方法は、できる限り蛍光X線のエネルギー差が小さい元素同士を組み合わせて指標値を算出するため、形状、厚み等の影響を比較的受けにくく、原

則として非破壊分析が望ましい考古遺物の測定に対して非常に有効な方法であるといえる。ただし、風化試料の場合、log(Fe強度/K強度)の値が減少する（望月, 1999）。試料の測定面にはなるべく平滑な面を選んだ。

原石試料も、採取原石を割って新鮮な面を露出させた上で、分析対象の石器と同様の条件で測定した。表2に各原石の採取地とそれぞれの試料点数を示す。

表2 西日本黒曜石産地の判別群

都道府県	エリア	判別群	原石採取地（点数）
島根	簸岐	久見	久見ハーフイド中(6), 久見採掘現場(5)
		宍道	宍道海岸(3), 加茂(4), 岸面(3)
大分	耶馬	耶馬	耶馬(20)
	佐賀	伊万里	肥佐(8)
長崎	佐世保	佐世保	対馬神社(10)
	熊本	球磨	白浜(14)
鹿児島	大口	人吉	桑ノ木(桑ノ木津留(17), 上青木(21))
	市来	市来	日東(10), 五木木(10), 小川内(11)
鹿児島	三船	上牛鼻(10), 野下(9), 宇都川(7), 平木場(1), 黑岩川(9)	
	垂水	垂水	小浜(5)
綿江	長谷	長谷	長谷(10)

3. 分析結果

表3に石器の測定値および算出された指標値を、図1と図2に、日本列島西部における黒曜石原石の判別群に石器の分析結果をプロットした図を示す。なお、両団は視覚的にわかりやすくするために、各判別群を楕円で取り囲んである。

測定の結果、いずれも腰岳群（佐賀県、伊万里エリア）の範囲にプロットされた。表3に産地推定結果を示す。

4. おわりに

鞍曲遺跡より出土した黒曜石製石器2点について、蛍光X線分析を用いた判別図法による産地推定を行った結果、2点とも伊万里エリア産と推定された。以上より黒曜石製石器が、九州地方北部より持ち込まれていることが確認された。

引用文献

- 望月明彦（1999）上和田城山遺跡出土の黒曜石産地推定。
大和市教育委員会編「埋蔵文化財の保管と活用のための基礎的整理報告書2 一上和田城山遺跡篇一」：172-179, 大和市教育委員会。

表3 測定値および产地推定結果

試料番号	K強度(cps)	Mn強度(cps)	Fe強度(cps)	Rb強度(cps)	Sr強度(cps)	Y強度(cps)	Zr強度(cps)	Rb分率	Mn*100 Fe	Sr分率	$\log \frac{Fe}{K}$	判別群	エリア	試料番号
4	305.8	89.9	1932.3	1017.8	304.8	412.6	690.9	41.95	4.65	12.56	0.80	腰岳	伊万里	4
5	131.3	38.0	871.2	438.0	130.7	179.0	303.3	41.67	4.36	12.44	0.82	腰岳	伊万里	5

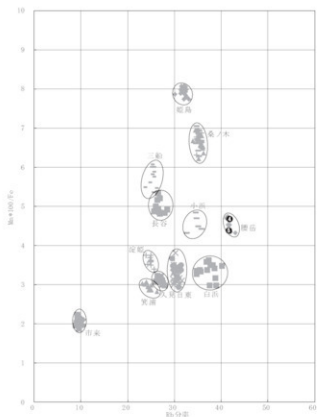


図1 黒曜石产地推定判別図

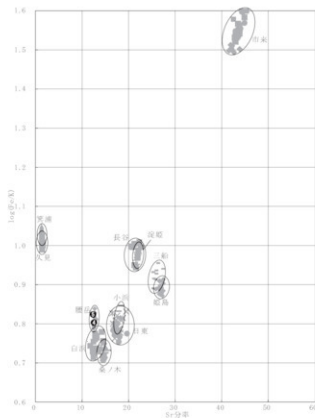


図2 黒曜石产地推定判別図

第6章 総括

鞍曲遺跡は、基盤層となるシラス（入戸火碎流 約26,000～29,000年前）層の上位に形成されたⅩ a 層およびⅩ b 層を主体に遺物包含層が形成されている。

遺物包含層は、それぞれ10cm程度の層厚で、土質もⅩ a 層がやや暗色を呈した斑状のシミが見られる硬質土で、Ⅹ b 層がⅩ a 層と比較し、わずかに砂質が強く、若干軟質である程度のわずかな差違が見られるのみである。

遺物包含層としての安定度としては、不安定な状況といわざるを得ない。

縫群について

縫群は、52基検出された。それぞれの縫群断面観察の結果、大きな縫の上下動は少なく、当時の造構構築面、構築状況を色濃く残しているものと考えられる。

縫群は、その現存状況から、次の3つに分類される。

- ① 極めて縫の集中するもの。
 - ② 縫は比較的まとまりを見せるが密集するような集中を呈さないもの。
 - ③ 一定範囲に縫が点在するもの。
- 縫群の検出状況や縫群間の縫接合状況（表1）から、これら分類通りに、単独で一つの造構を構成するものと、複数の形態がまとまりを持って一つの造構を形成するものがあることが看取された。
- ④ 極めて縫の集中する部分を持ちながら、縫は比較的まとまりを持つが密集する様相を呈さないものとの組み合わせ。（6～12号縫群、15号縫群、18号+19号縫群、21号縫群、29～31号縫群、36～38号縫群、49号縫群）
 - ⑤ 極めて縫の集中する部分を持ちながら、一定範囲に縫が点在するものとの組み合わせ。（1～3号縫群、5

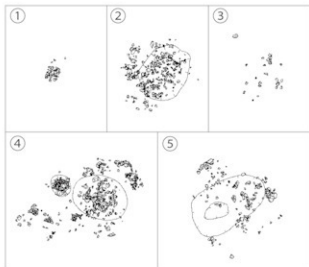
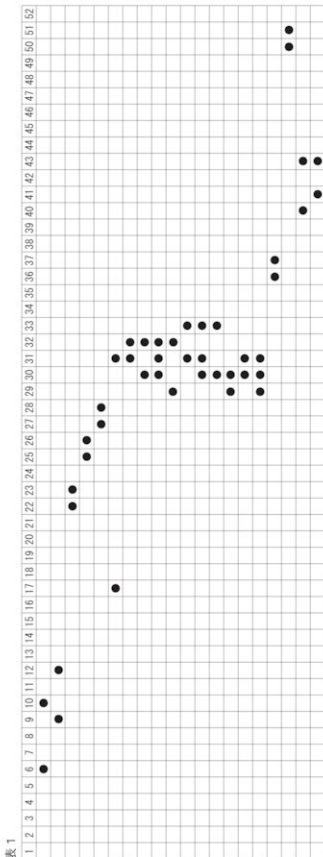


図 1



※縫群が縫群noで、●で示されるものに縫群間接合が見られる。

号縄群、32号縄群、44～46号縄群、50号縄群）である。
(图1)

縄群間縫接合の結果からは、特に29～33号縄群間において密接な関係があることが想定される。

②、③の残存状況を示すものの一部には、縄を取り除いた後、その下位に不正形な土色の変調部分が検出された。炭化物等は検出されなかった。断面観察においても、周囲との明確な土質の差異は認められず、土色の変化も漸進的なものであった。人為的な要素は考慮されるものの、掘り込み等を伴う遺構ではないと判断される。また、52基中3基についてAMS法による¹⁴C年代測定を行い26736～26211calBC（3号縄群）、26585～26017calBC（20号縄群）及び26748～26240calBC（49号縄群）の年代値が得られている。

エリア：集中部について

エリア1は、遺跡東部C・D－2・3区に位置する。内包される集中部1・集中部2は、XII b層からの出土遺物で構成される。また、エリア1全体としてもXII b層の遺物のみが出土する。

エリア2は、C－3・4区に位置する。内包する集中部3とともに、出土遺物はXII a層、XII b層のものが混在する。XII層出土遺物も1点見られる。比較的狭いエリアに5点の石核が出土することが特徴的である。

エリア3は、遺跡東側B－4区に位置する。内包する集中部4はXII b層出土遺物が優位である。エリア3全体としてみるとXII層、XII a層出土遺物も若干の出土が見られる。

集中部5は、当遺跡最大の遺物集中部で、遺跡東側B－4・5区に位置する。出土遺物はXII a層、XII b層のものが混在する。遺物に混ざり集中部内に破碎縄が多く含まれ、石器接合資料のほとんどが集中部5を起点として接合し、もしくは集中部内で接合していることが特徴的である。

エリア4は、遺跡中央C・D－4区に位置する。内包する集中部6は、XII a層、XII b層とともに遺物の出土が見られるが、ややXII b層に優位性が伺える。エリア4全体としても同様の傾向が取看される。また、集中部6には頁岩の剥片とともにチップが多く出土する。また少數であるが同石材のナイフ形石器、台形石器も出土することは注目される。

エリア5は、C・D－3・4区に位置し、19号・20号縄群に隣接し、XII b層出土遺物にやや優位性が見られ、玉髄がやまとまる事に特異性があることから、ひとつつのエリアとして認定した。

エリア6は、遺跡西側E－4区に位置する。わずかであるが、ホルンフェルスがまとまる事からひとつのエリアとして認定した。出土層位はXII a層である。

集中部7は、5号縄群南側のE－2・3区に位置する。XII b層出土遺物で占められる数点のまとまりであるが5号縄群との関連性が考えられることから、集中部認定した。

集中部8は、遺跡西側E－4・5区に位置する。黒曜石を主体とする遺物集中域でわずかに頁岩が混ざる。遺物の出土層位はXII a層、XII b層が混在する。

エリア7は、遺跡中央部やや西寄りのD・E－5・6区に位置し、集中部9・10を内包する。集中部から出土する石材は黒曜石が主体であるが、出土層位はXII a層、XII b層が混在する。

集中部11は、D・E－8区に位置する。わずかであるが頁岩のチップがまとまる事から、集中部として認定した。出土層位はXII a層である。

エリア8は、遺跡南側D・E－8・9区に位置する。エリア内に集中部12・13を内包する。集中部12は、D－9区に中心をもち、集中部13は、E－9区に中心をもつ頁岩を主体とする集中部でわずかに黒曜石も混ざる。ここでの接合資料は2点を除き、集中部内もしくは集中部をまたぐもの、エリア内に収まるものである。

集中部14は、遺跡南側D・E－10区に位置する。黒曜石主体の集中部で、わずかにホルンフェルスが混ざる。出土層位はXII b層が主体となる。

エリア9は、やや縄群に囲まれるような形態をもち、遺物が点在する範囲を大きく括りエリアとして認定した。頁岩、黒曜石、ホルンフェルスなどの石材が点在する。

各エリア、集中部毎にわずかであるが出土層位に偏りも見られるが、出土する遺物の形体等から層位的な差違を確認するには至らなかった。遺物の重量差や当時の寒暖差、土中生物・植生等の影響による遺物の上下動は十分に考えられる現象である。

接合資料について

図化した大型接合資料を見ると、集中部5、集中部6及びエリア8：集中部12・13に限定されてくる。図化されていない少數遺物の接合資料は、近接した位置で接合する。

接合資料の出土傾向として集中部5とエリア8：集中部12・13が対照的であったため、詳述しておきたい。

集中部5は、31点と最も多い接合資料を得られた集中部である。接合資料は、XII a層、XII b層をまたいで接合しているものが多く見られる。また、接合資料中14点は、集中部から離れた場所の遺物との接合が見られる。接合する遺物は剥片主体であるが、14点中7点は、石核が離れた場所に残置され接合している。さらに、残置された周辺の遺物とは接合しないという特徴があり、注目すべきであろう。加えて、遺物集中部に縄群構成縄に類似する然破碎縄が多量に混入することにも注意をはらって

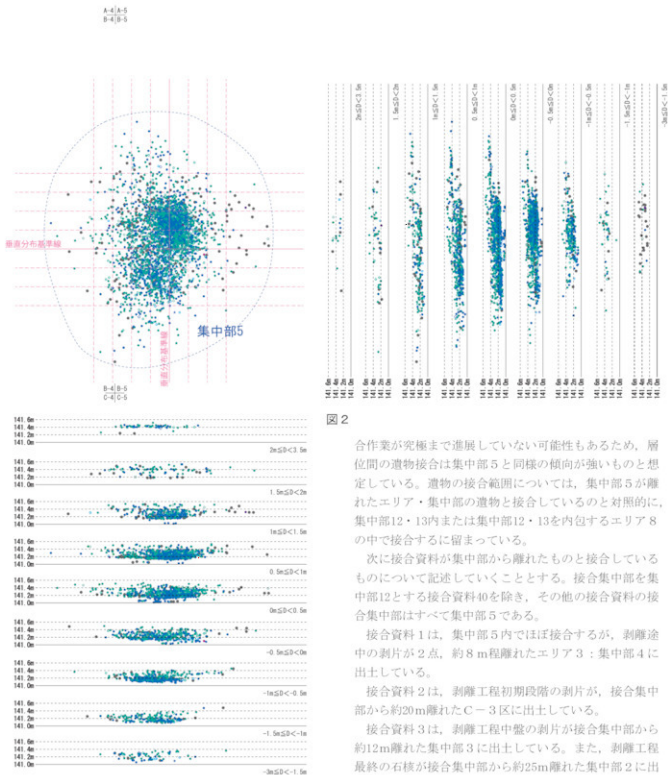


図2

合接業が完結まで進展していない可能性もあるため、層位間の遺物接合は集中部5と同様の傾向が強いものと想定している。遺物の接合範囲については、集中部5が離れたエリア・集中部の遺物と接合しているとの対照的に、集中部12・13内または集中部12・13を内包するエリア8の中で接合するに留まっている。

次に接合資料が集中部から離れたものと接合しているものについて記述していくこととする。接合集中部を集中部12とする接合資料40を除き、その他の接合資料の接合集中部はすべて集中部5である。

接合資料1は、集中部5内ではば接合するが、剥離途中の剥片が2点、約8m程離れたエリア3：集中部4に出土している。

接合資料2は、剥離工程初期段階の剥片が、接合集中部から約20m離れたC-3区に出土している。

接合資料3は、剥離工程中盤の剥片が接合集中部から約12m離れた集中部3に出土している。また、剥離工程最終の石核が接合集中部から約25m離れた集中部2に出土している。

接合資料7は、剥離工程終盤の剥片が接合集中部から約23m離れた集中部9に出土している。

接合資料8は、接合点数11点と多くないが、剥離工程初期段階の石核が接合集中部から約23m離れたエリア9から出土している。

接合資料10は、剥離工程最終の石核が接合集中部から約17m離れたエリア2に出土している。

おきたい。集中部5は、遺物の堆積状況が浅い皿状を呈している。断面で見ると、その中に熱破碎縫が上大幅を持って分布していることがわかる。（図2）

エリア8：集中部12・13では、9点の接合資料が図化されている。大型の接合資料になるとXII a層、XII b層と層位をまたいた遺物の接合が見られるが、小型の接合資料ではXII a層に限定されるものもみられる。しかし、接

接合資料15は、剥離工程中盤の石核が接合集中部から約27m離れた集中部2に出土している。

接合資料19は、剥離工程最初に剥離され、その後剥離されることのなかった石核が、接合集中部から約28m離れた集中部2に出土している。

接合資料20は、接合点数は10点と多くないが、剥離工程中盤の石核が接合集中部から約33m離れたE-3区、剥片が同じく約28m離れたエリア9から出土している。

接合資料21は、剥離工程終盤に剥離された剥片が、接合集中部から約27m離れた集中部2に出土し、剥離工程中盤に剥離された二次加工剥片が接合集中部から約6m離れた集中部4で出土している。二次加工剥片については、二次加工に伴うチップ等の接合は確認できていない。

接合資料25は、剥離工程終盤に剥離された剥片が接合集中部から約27m離れたエリア1、D-2区に出土している。

接合資料28は、接合点数は6点と少いものの全て同一打面で剥離されている剥片である。最終剥離の剥片が接合集中部から約28m離れた集中部1から出土している。

接合資料30は、接合点数11点と多くないが、剥離工程最初の剥片が、接合集中部から約5m離れたB-4区に出土し、最終剥離された石核が接合集中部から約30m離れたE-3区のエリア9、羨群9号近くで出土している。

接合資料31は、接合点数は5点と少いが、剥離工程最初の剥片が、接合集中部から約25m離れたC-2区、エリア1で出土している。

接合資料40は、接合資料点数4点と少ない。剥離工程2番目に剥離された剥片が、接合集中部から約6m離れたD-9区から出土している。

まとめ

鞍曲遺跡では、4557点の石器等の遺物が出土している。二次加工痕の見られる石器は73点出土し、定形石器と呼べるもののが53点、二次加工剥片・微細剥離痕剥片20点も含まれている。これと比較し石核は62点、剥片は3439点、チップ・碎片等は983点出土している。定形石器と出土総数との比率をみると、約1:86。剥片と出土総数との比率が、約1:1.3。チップ・碎片と出土総数との比率、約1:4.6の数値が得られる。

本遺跡3号、20号羨群出土の炭化物から得られた年代と桐木遺跡第1文化層の年代はほぼ整合すること、出土する遺物も類似することから、出土石器素材の構成比率を比較することは非常に有用と考えられる。出土点数の提示がなされている鹿児島県桐木遺跡第1文化層の出土状況を概観すると、遺物総数968点が出土し、定形石器が32点、加工・使用痕のある剥片が8点、剥片が204点、チップ・碎片が676点である。鞍曲遺跡と比較するため上記同様に出土比を算出すると、定形石器比が約1:30、

剥片比が約1:5、チップ・碎片比が1:1.4となる。

鞍曲遺跡は、桐木遺跡第1文化層と比較して定形石器が約1/3、剥片が約4倍、チップ・碎片が約1/3である。大型の接合資料が多いことからも言えることだが、利用されずに残置された剥片の数値が多いことからも、原産地遺跡の様相を色濃く反映する数値と言えるだろう。また、チップ・碎片の数値が少ないと、チップを精査した結果プランディングチップは22点しか確認されていないことから、細かな調整は行われておらず、定形石器の製作、リダクション等もほとんど行われていない事が想定される。

集中部5は、出土した接合資料から剥離された剥片は長さ5cm前後の小型の剥片と考えられ、ナイフ形石器文化期に該当する可能性が考えられる。

さらに、先述したとおり接合資料の大半を包括する集中部5から離れた位置に剥離途中の剥片や石核、最終の残核が点在していること、且つその周辺に接合する遺物が出土していないことは、居住域、作業領域を考え上で重要な資料と言える。また羨群に伴うと考えられる破砕縫が集中部5に混在していることも興味を引く事例で、居住域、作業領域を良好なコンディションに保つため必要な石材等を1か所に集積するような行為があったことを示唆しているものとも捉えられる。

エリア4、集中部6は台形石器が優位に出土し、集中域を形成している。また、搬入と考えられる異石材製の台形石器も同じ集中域から出土していることから、エリア4付近は、台形石器文化期の様相を残している領域とも推測できる。

時間的制約もあり、石器接合、縫接合作業が最終段階まで行えていないため結論には至らないが、今後、他遺跡との資料比較や出土状況の比較などをを行うことにより、明らかになっていくことが多いものと考える。

<参考文献>

- 鹿児島県立埋蔵文化財センター 2004『桐木遺跡』鹿児島県立埋蔵文化財センター発掘調査報告書(75)
鹿児島県立埋蔵文化財センター 2010『宮ノ上遺跡』鹿児島県立埋蔵文化財センター発掘調査報告書(146)

写 真 図 版



鞍曲造跡全景



①



②

① E-1～6区西侧土層断面 ② D-E-3区北側土層断面

土層断面



① 1・2号砾群検出状況 ② 1号砾群検出状況 ③ 2号砾群検出状況 ④ 3号砾群検出状況 ⑤ 3号砾群下面の断面確認状況

砾群検出状況（1）



① 4号鍬群検出状況 ② 4号鍬群下部の状況 ③ 5号鍬群検出状況 ④ 5号鍬群接写 ⑤ 5号鍬群完掘状況

鍬群検出状況（2）



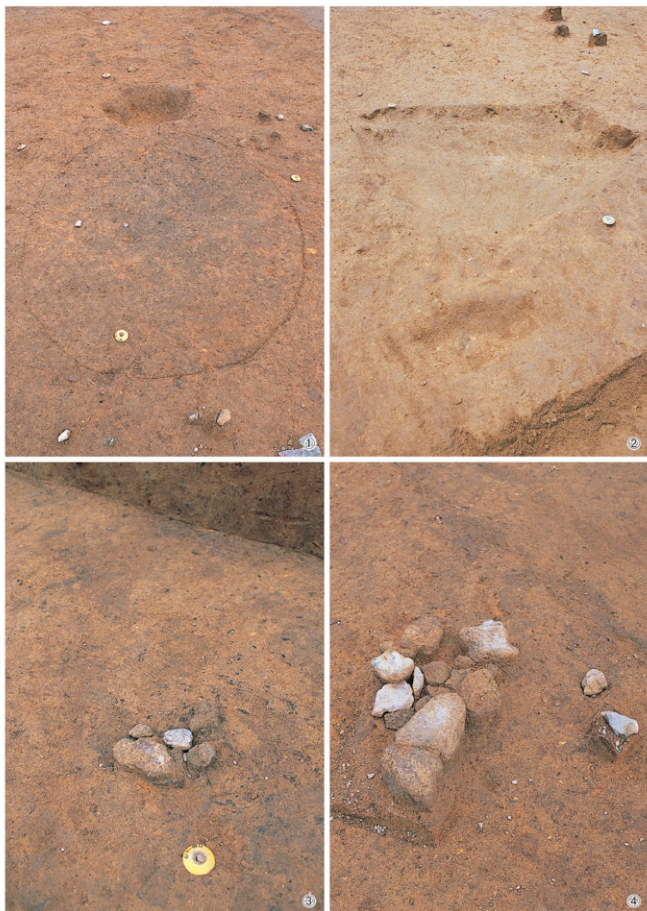
① 6号石群状况 ② 7号石群状况 ③ 8号石群状况 ④ 9号石群状况

石群状况 (3)



①10号石群検出状況 ②11号石群検出状況 ③12号石群検出状況

石群検出状況（4）



①12号砾群下位黑斑檢出狀況 ②12号砾群下位黑斑完掘狀況 ③13号砾群檢出狀況 ④14号砾群檢出狀況

砾群檢出狀況（5）



①15号砾群検出状況 ②15号砾群下位黒斑検出状況 ③15号砾群下位黒斑半掘状況

砾群検出状況（6）



①16号石群状况 ②17号石群状况 ③18号石群状况

石群状况 (7)



①19号砾群検出状況 ②20号砾群検出状況 ③21号砾群半截状況

砾群検出状況（8）